

## CHEMICAL COMPOSITION FOR RAINWATER COLLECTIONS IN DIFFERENT REGIONS AT QUNEITRA PROVINCE

Nizam, A. A. and A. Al-Thiaya

Plant Biology Dept., Fac. Sci., Damascus University, Damascus, Syria

المكونات الكيميائية لتجمعات مياه الأمطار بمحافظة القنيطرة في سورية

عدنان على نظام و عبد السلام الثلثايا

قسم علم الحياة النباتية من كلية العلوم بجامعة دمشق، دمشق، سورية

### الملخص

تتتجزأ تركيزات المركبات الكيميائية لتجمعات مياه الأمطار مما يحمله غبار الهواء والهطول المختلفة، وما ينحل فيه من مواد عضوية وغير عضوية حيث تجري المياه وتتجمع، ولذلك أجري التحليل الكيميائي لعينات تجمعات مياه الأمطار بين تشرين الأول ٢٠١٠ ونisan ٢٠١١ التي جمعت من ثلاثة مواقع بمحافظة القنيطرة هي: كونته والكوم ومدينة البعث، حيث قيست الأيونات الموجبة،  $\text{NH}_4^+$ ,  $\text{Na}^+$ ,  $\text{Mg}^{+2}$ ,  $\text{Ca}^{+2}$ ,  $\text{NO}_3^-$ ,  $\text{SO}_4^{=2}$ ,  $\text{PO}_4^{=3}$ ,  $\text{NO}_2^-$  والأيونات السالبة:  $\text{Cl}^-$ ,  $\text{NO}_2^-$ ,  $\text{SO}_4^{=2}$ ,  $\text{NH}_4^+$ ,  $\text{PO}_4^{=3}$ ، ودلالات الرقم الهيدروجيني والناقلة الكهربائية.

تبين في جميع المواقع أن تركيزات  $\text{Na}^+$  (٦.١٢ - ٦.٥٢ ملخ/ل)،  $\text{Ca}^{+2}$  (٣٦.٨٦ - ٣٦.٨٦ ملخ/ل)،  $\text{Mg}^{+2}$  (٦.٨ - ٦.٤٩ ملخ/ل)،  $\text{Cl}^-$  (١٣.٤٩ - ١٣.٣٢ ملخ/ل)،  $\text{pH}$  (٨.٩٥ - ٧.٢٧)، الناقلة الكهربائية (٤٢٠ - ٣٠٨ ميكروسيمنس/سم) تقع ضمن الحدود المسموح بها لمياه الشرب، أما تركيزات  $\text{NH}_4^+$  (٠.٦١ - ٠.٢٣ ملخ/ل)،  $\text{SO}_4^{=2}$  (٢٤٩ - ٥٦١ ملخ/ل)،  $\text{NO}_3^-$  (٦٠ - ٦٠.٩١)،  $\text{NO}_2^-$  (٠.٩١ - ٢.٦ ملخ/ل)،  $\text{PO}_4^{=3}$  (١.٣٢ - ٢.٨٦ ملخ/ل) فقد تجاوزت الحدود المسموح بها لمياه الشرب. كما تم حساب الارتباطات بين جميع الأيونات لكل العينات لمعرفة المصادر المختلفة للملوثات.

الكلمات المفتاحية: تجمعات مياه الأمطار، المياه العذبة، الدلالات الكيميائية، الدلالات المحتلة للملوثات.

### INTRODUCTION المقدمة

بعد الماء أحد المتطلبات الأساسية لحياة الإنسان ونشاطاته، ولكن إدارته تواجه تحديات هائلة في الدول النامية [١]، حيث أصبحت سالة نقص المياه من المشكلات الكبرى التي تواجه زيادة نمو السكان ونشاطاتهم ويعود ذلك لتلوث المياه العذبة على نطاق واسع، والاستجرار الجائر، وانخفاض الإصلاح البيئي، إذ يتضاعف الطلب العالمي على المياه كل ٢١ سنة تقريباً [٢]. وحاله إمداد المياه اليوم مختلفة جداً مما هي عليه قبل ١٠٠ أو ٥٠ سنة حتى ٢٥ سنة، فقد ازداد معدل النمو السكاني بينما تبقى مصادر المياه ثابتة. ولما كانت مصادر المياه العذبة محدودة، إذ تمثل نحو ٢٥٪ من إجمالي المياه في العالم فيجب وضع خطط مستقبلية تومن بقاء مصادر المياه العذبة بتنوعها جيدة وكفاءة عالية [٣]. ولما كانت أغليمة إمدادات المياه في بلدان شرق المتوسط تأتي من المياه الجوفية القائمة والإزيادة بأعداد السكان كبيرة وأزيد من متطلباتها المائية فإن الضغط حاد على المياه الجوفية المحدودة [٤].

من جانب آخر تعد مياه الأمطار مصدراً مهماً وأمناً ومناسباً للشرب ولا سيما في المناطق الريفية البعيدة ذات المياه (السطحية والجوفية) النادرة ومنخفضة النوعية [٥، ٦]، ولا ريب في أن مظاهر الهطول التي تشمل الأمطار والبرد والتلاطم تبيّن فيما يوّلها في الحالات سواء من حيث الظروف الجوية المرافقه لتكوينها أم من حيث توزيعها المكاني، وبالرغم من أن مياه الأمطار تأتي من السماء إلا أنها لا تكون نظيفة وأمنة بالضرورة، إذ تلتقط الملوثات كالغازات والغبار من الجو، وتترعرّض للتلوث عند جرياتها على سطح الأرض [٧]، فتحمل العديد من أنواع الجراثيم والفطريات والطحالب والغبار والأوراق ومخلفات الحيوانات والطيور إلى أماكن تجمعها، وكذلك الملوثات العضوية وغير العضوية ومخلفات وسائل النقل، ومن الممكن أن تكتسب للطعم والرائحة عند خزنها [٨، ٩].

وستتّأثر عملية جمع مياه الأمطار باهمية بالغاة في معالجة قضايا المشروعات الكبيرة ومواجهة النحو السكاني المتزايد في جميع أنحاء العالم التي تعاني صعوبة في تأمين المياه إلى جانب ندرة المصادر المائية

القطبية [١٠]، فمن السير جسم مياه الأمطار من سطح المبني وتحلقيها على الأرض لو المصبات الصفرية بقليلات بسيطة وسهلة مثل الحفن في المباني، حيث تند حالاً لفنس المياه وتصدر إضافة لها [١١] فهناك العديد من الأسباب لإغفال مياه الأمطار على الطلب المترابط من المياه بخلاف تغيرات الطقس العالية [١٢]، فما ذكر من نصف المياه العذبة العاملة شخصت لاستعمال الإنسان، وأكثر من ينبعون شخص لا يزور بدنيه الأسباب الاستثنائية، ويشكو نحو ثلاثة بلايين شخص قلة تصريف المخلفات المنزلية، ومن الضروري الاستثناء من مياه الأمطار ولايسها في العقود القديمة القائمة [١٣]، ويعتمد كمية ثلوت مياه الأمطار على موقع البطل والصناعات والكلافة المرورية والرياح السائدة والفضل وفترات الأمطار على مواعي قترة والجفاف الطوبي، ويعتمد ذلك أيضاً على البيئة المحيطة والقرب من المبني والصناعات الملوثة وغيرها [١٤].

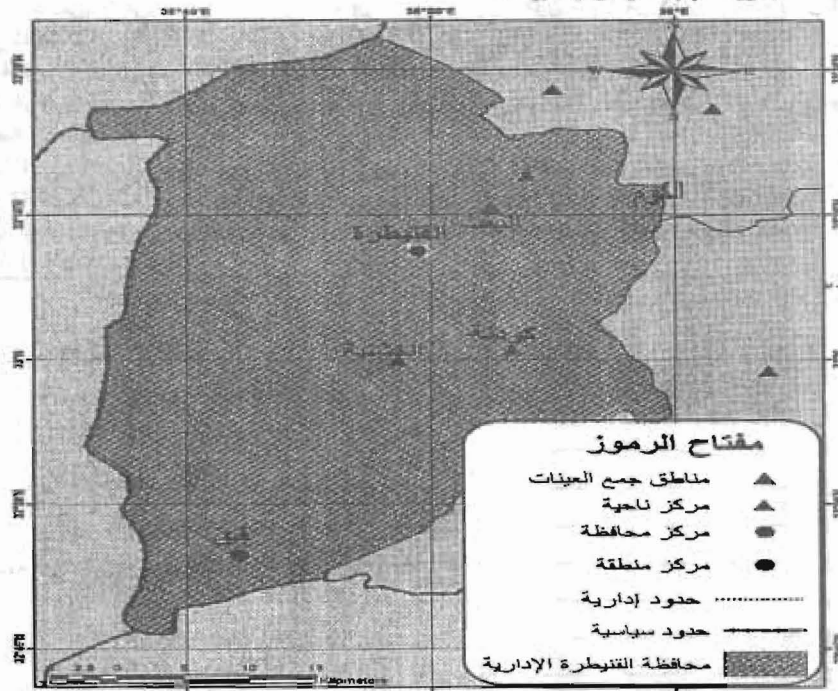
**Importance and aims of research**  
أهمية البحث وأداته  
يتغير التركيب الكيميائي لمياه الأمطار عند تجمعها على سطح الأرض نتيجة تأثير ملوثات الهواء وسا يحمله من غبار وتكلف ما تكتسبه من ملوثات توجد عادة على سطح الأرض ولايسها ما يرتبط بحياة الإنسان وشأناته المختلفة، ولذلك يكتسب التركيب الكيميائي لتحسينات مياه الأمطار من موقع لأخر ومن وقت لأخر، وهذه الدراسة هي الأولى من نوعها التي تعيي بدورها تجميلات مياه الأمطار بالساقطة. يهدف هذا البحث إلى معربة التركيب الكيميائي الأساسي لتحسينات مياه الأمطار بمختلفة القطر، وتقدير نوعيتها قبل وضع المحلول لمعالجتها وتحديد إمكانات استعمالها في أغراض المستعملة.

## MATERIALS AND METHODS

### موجة البحث وطرقه

١- محلاص منطقة الدراسة: تقع القبطرة جنوب خليجي سوريه بين حوض دمشق ونهر الجolan وزرضاها والحدود السوريه - اللبنانيه شمالي القبطرة فهو جدار مائي حقفي، فيه نقاط ترقع حتى ٢٢١٩، الشرقي يوجد حوض القبطرة الجنوبي الشمالي الأساسى في ساخته، وجزءان المياه في المنطقة. وفي الركال عن درعا و دمشق [١]، ويتغير القبطرة بتدريجها تدريجياً تغير مسارها ومحواران، ويحصلها وإذدي باللون الأسود الماء الذي ينبع من مخارات بركاتيه بمقدار، فمعظم المسحور المستشرى في المنطقة بالارتفاع، والقادمة المائية لات penetra لا تظهر إلا تدريجياً، ولايسها في قيعان بعض الأزوية ويؤثر المسحر الذي في جيد المنطقة من التراكمي الطبيعية والبشرية والاقتصادية [١٧] وعلى الرغم من معدلات الأمطار المرتفعة في القبطرة (٥٠٠ - ٧ - ٠٠) سم سنويها يعيق الماء الأمطار في الأزوية، وطيئه، يسبب التغير تبيّنة ارتفاع درجات الحرارة، وسرعة الرياح، وتعانى مياه الرقاد الذي يجري في ٦ أشهر، المسحور المقذدة للماء، وغليب المجرى المائي الدائمه، واستثناء نهر الرقاد الذي يجري في ٦ أشهر، وتحتقر مجموعه من السدود في المنطقة كهبات من المحلول الماء، وما يصاح خالصاً (مياه جوانب) إلا إن ارتفاع النقطة ورؤوها بين درجتي عرض ٣٢ - ٣٣° شمالاً جعل لها ماء كثيرة بين كثورتها ترتفع مدينة القبطرة عن مستوى سطح البحر ٩٦٩ م، ولا يبعد عنه أكثر من ٨٠ كم [١٨]، وفضل الماء يارد تسبباً بهما من ارسط شريف الثاني، من ذلك يعيش الماء الشهري في ١٢٦ م، ويختضر الماء الشهري للمرارة على نحو سبعمائه حتى ٥٠.٩ م في كالون الثاني، ويكون متوسط درجة الحرارة بين الأول وتباطئ ٨٠ م، وبطبيعة معدل الأمطار ٤٢٤.٤ م التي تهطل بدءاً من يولى بمتوسط ٦٠ م، ويتبدى الماء بين كالون الأول وتباطئ كالون الأول وشبطة قليلة متواترها أكثر من ٦٧٠ م أو أكثر، ثم تقل المطر حتى تبلغ ١٠ م في الأول، ويبلغ معدل الرياحية التقريبية لدى كالون الشهري حرارة (تسوز ولب) ٥٧ - ٥٨%، وفي شررين الأول وشررين الثاني على أعلى نسبة في كالون الثاني ٧٩ - ٨١%، ويتبع الرياحية في ساقطة الأبراجها، وهي الغزيرية والخفيفة، وتكون الرياح الشرقية القارية أكثر هوها في الغزير، وهي جلهة يباردة جداً شتاءً، وحرارة تحمل النيل والرمال في نيسان وأيار، ورياح رطبة بحرية تحمل الأمطار في الشتاء، وهناك ١٥ يوماً مطبقة، ولا يجد الريح يسب عن قدر جبل الحرمون معظم أيام السنة بسبب ارتفاع قمة (٢٨١٤ م)، أما السرور فتسلط ملوث جداً وألايسها في لوادر الشتاء وأول الربيع، وكثيراً ما تدخل موجات صقيع في

منطقة شمالي الجولان ومنتشرها غالباً من البداية في الشرق أو من قمة جبل الحرمون في الشمال، وهي ضارة بالأشجار المثمرة والمزروعات [18].  
 ٢. اختيار الموقع: اختيرت موقع كونية والكوم ومدينة البیث (الشكل ١) لأخذ عينات تجمعات مياه الأمطار، ورُوعي عند اختيارها قربها من مصبات المخلفات السائلة المنزلية والأراضي الزراعية، والتجمعات السكانية والنشاطات البشرية ك التربية الدواجن والحيوانات.



الشكل ١. مناطق جمع العينات في محافظة القنيطرة

٣. جمع العينات **Sample collection**: جمعت عينات تجمعات مياه الأمطار بين شرين الأول ٢٠١٠ ونisan ٢٠١١، بوساطة عبوات بلاستيكية نظيفة مصنوعة من البولي إيثيلين Poly Ethylene سعة ٥٠٠ ل، ومحفولة بالماء والصابون (أزيل أثار المنظف المستعمل بالماء الساخن)، ثم بالماء المقطر عدة مرات. وغسلت العبوات بماء العينة عدة مرات، ثم ملئت وأغلقت بإحكام لتفادي التلوث عند نقلها إلى المختبر لإجراء الاختبارات [19]. إذ إن موقع أخذ العينة وتكراريتها يعدها عاملين أساسيين للحصول على معلومات موثوقة حول التلوث في أي عينة [18]. رشحت العينات باستعمال مرشحات سيليوريزية أقطارها ٠٠٢٢٠٠٠٢٥ مم لإزالة المواد العالقة، وحفظت العينات المرشحة في قناني من البولي إيثيلين، ووضعت في الثلاجة بدرجة ٤°C لإجراء التحاليل الكيميائية.

٤. التحاليل الكيميائية **Chemical analysis**: عند الوصول إلى المختبر أجري قياس pH العينات باستعمال جهاز pH-meter، وانتقلية الكهربائية باستعمال جهاز الاستقرار الشاردي (الクロماتوغرافيا الأيونية) Ion chromatography لكل العينات قبل ترشيحها. أما العينات التي رشحت وحفظت في الثلاجة فقد استعملت لقياس تركيزات الأيونات الرئيسية الموجبة:  $\text{NH}_4^+$ ,  $\text{Na}^+$ ,  $\text{Mg}^{2+}$ ,  $\text{Ca}^{2+}$  والسلبية:  $\text{PO}_4^{3-}$ ,  $\text{NO}_3^-$ ,  $\text{NO}_2^-$ ,  $\text{SO}_4^{2-}$ ,  $\text{Cl}^-$  بوساطة جهاز الاستقرار الشاردي.

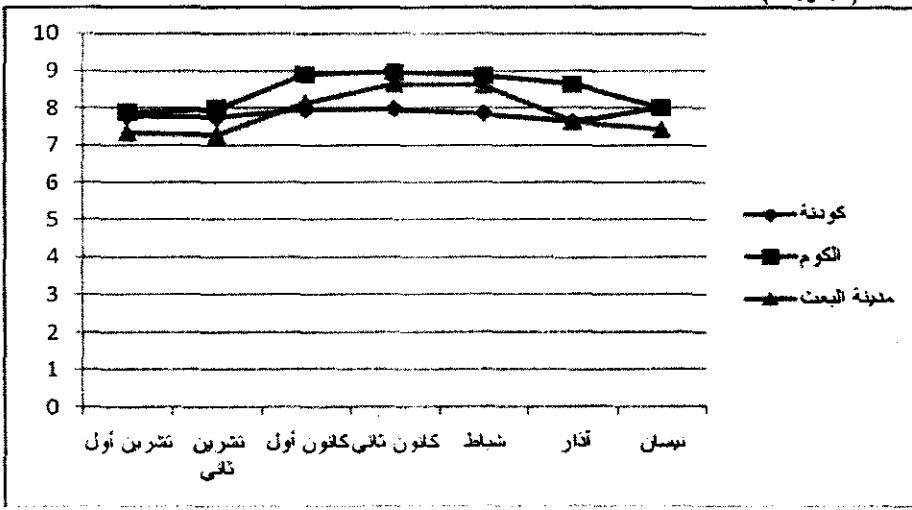
## RESULTS AND DISCUSSION النتائج والمناقشة

### ١. عدد عينات مياه الأمطار Numbers of Samples of Rainwater

جمعت ١٣ عينة من مياه الأمطار بحسب زمن سقوطها، حيث كان عدد العينات الماخوذة في موقع الدراسة كالتالي: ١ في تشرين الأول وفي تشرين الثاني، و٢ في كانون الأول من العام ٢٠١٠، وكان العدد ٣ في كانون الثاني وفي شباط من العام ٢٠١١، و٢ في آذار و١ في نيسان من العام ٢٠١١.

### ٢. نتائج الاختبارات الكيميائية لتجمعات مياه الأمطار في مواقع الدراسة بالقليطرة

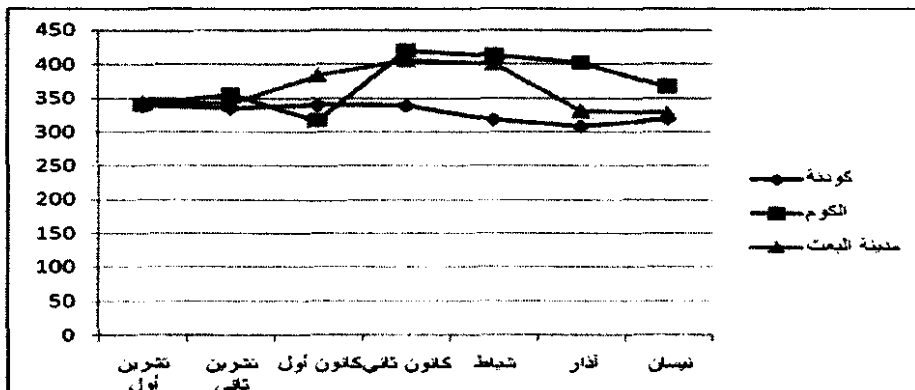
١.٢ الرقم الهيدروجيني pH: يبين الشكل ٢ قيم الرقم الهيدروجيني pH لتجمعات مياه الأمطار في موقع الدراسة بمحافظة القليطرة، حيث سُجلت في كونية أعلى قيمة (٨.٠١) في نيسان ٢٠١١، وأنهى قيمة (٧.٦٠) في آذار ٢٠١١، وسُجلت في الكوم أعلى قيمة (٨.٩٥) في كانون الثاني ٢٠١١، وأنهى قيمة (٧.٨٨) في تشرين الأول ٢٠١٠، وسُجلت في مدينة البعث أعلى قيمة (٨.٦٣) في كانون الثاني ٢٠١١، وأنهى قيمة (٧.٢٧) في تشرين الثاني ٢٠١٠، وقد تراوح متوسط pH في جميع المواقع بين ٧.٢٧ - ٨.٩٥ (الجدول ١).



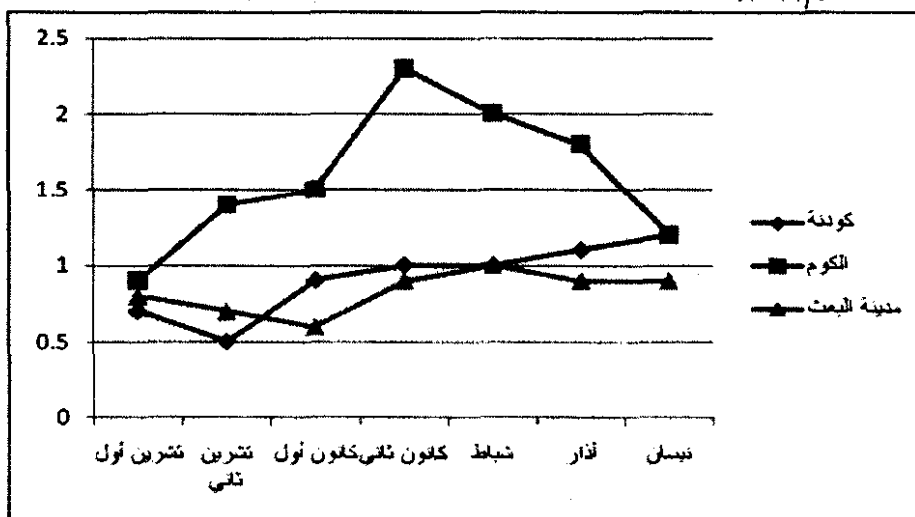
الشكل ٢. التغيرات الشهرية لقيمة pH في تجمعات مياه الأمطار بالقليطرة بين ٢٠١٠/٤ - ٢٠١١/٤.

٢.٢ الناشرية الكهربائية: يبين الشكل ٣ قيم الناشرية الكهربائية لتجمعات مياه الأمطار في موقع الدراسة بمحافظة القليطرة، حيث سُجلت في كونية أعلى قيمة (٣٤٠ cm/μs) في كانون الأول ٢٠١٠، وأنهى قيمة (٣٠٨ cm/μs) في آذار ٢٠١١، وسُجلت في الكوم أعلى قيمة (٤٢٠ cm/μs) في كانون الثاني ٢٠١١، وأنهى قيمة (٣١٧ cm/μs) في كانون الأول ٢٠١٠، وسُجلت في مدينة البعث أعلى قيمة (٤٠٦ cm/μs) في كانون الثاني ٢٠١١، وأنهى قيمة (٣٢٨ cm/μs) في نيسان ٢٠١١، وقد تراوح المتوسط في الموقع بين ٣٠٨ - ٤٢٠ cm/μs (الجدول ١).

٣.٤ الأمونيوم  $\text{NH}_4^+$ : يبين الشكل ٤ تركيزات شوارد الأمونيوم، حيث سُجلت في كونية أعلى قيمة (١.٢ ملغم/L) في نيسان ٢٠١١، وأنهى قيمة (٠.٥ ملغم/L) في تشرين الثاني ٢٠١٠، وسُجلت في الكوم أعلى قيمة (٢.٣ ملغم/L) في كانون الثاني ٢٠١١، وأنهى قيمة (٠.٩ ملغم/L) في تشرين الأول ٢٠١٠، وسُجلت في مدينة البعث أعلى قيمة (١.٠٠ ملغم/L) في شباط ٢٠١١، وأنهى قيمة (٠.٦ ملغم/L) في كانون الأول ٢٠١٠، وقد تراوح المتوسط في الموقع بين ٠.٥ - ٢.٣ ملغم/L (الجدول ١).

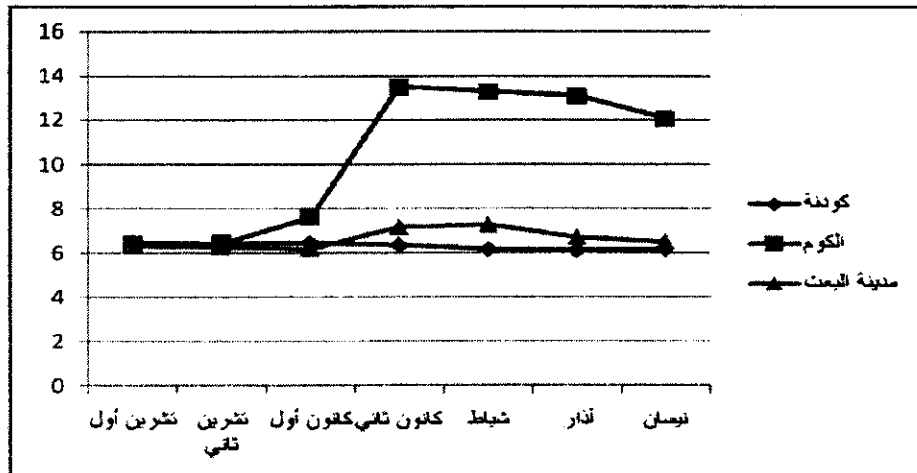


الشكل ٣. التغيرات الشهرية لقيم النقاوة الكهربائية في تجمعات مياه الأمطار بين ٢٠١٠/١٠ - ٢٠١١/٤



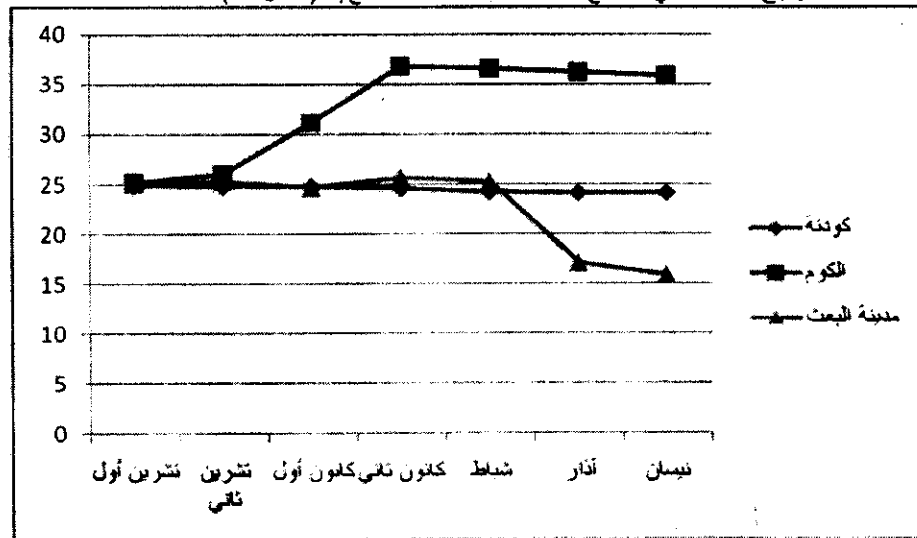
الشكل ٤. التغيرات الشهرية لتركيز شوارد الأمونيوم في تجمعات مياه الأمطار بين ٢٠١٠/١٠ - ٢٠١١/٤

٤.٢ الصوديوم  $\text{Na}^+$ : يبين الشكل ٥ تركيزات شوارد الصوديوم، حيث سُجلت في كودنة أعلى قيمة (٦.٤٧ ملخ/ل) في تشرين الأول ٢٠١٠، وأدنى قيمة (٦.١٢ ملخ/ل) في آذار ٢٠١١ بمتوسط إجمالي قدره ملخ/ل، وسُجلت في الکوم أعلى قيمة (١٣.٥٢ ملخ/ل) في كانون الثاني ٢٠١١، وأدنى قيمة (٦.٣٨ ملخ/ل) في تشرين الأول ٢٠١٠، وسُجلت في مدينة البُعث أعلى قيمة (٧.٢٥ ملخ/ل) في شباط ٢٠١١، وأدنى قيمة (٦.١٩ ملخ/ل) في كانون الأول ٢٠١٠، وقد تراوح المتوسط في الموضع بين ٦.١٢ - ١٣.٥٢ ملخ/ل (الجدول ١).



الشكل ٥. التغيرات الشهرية لتركيز شوارد الصوديوم في تجمعات مياه الأمطار بين ٢٠١٠/١٠ و ٢٠١١/٤

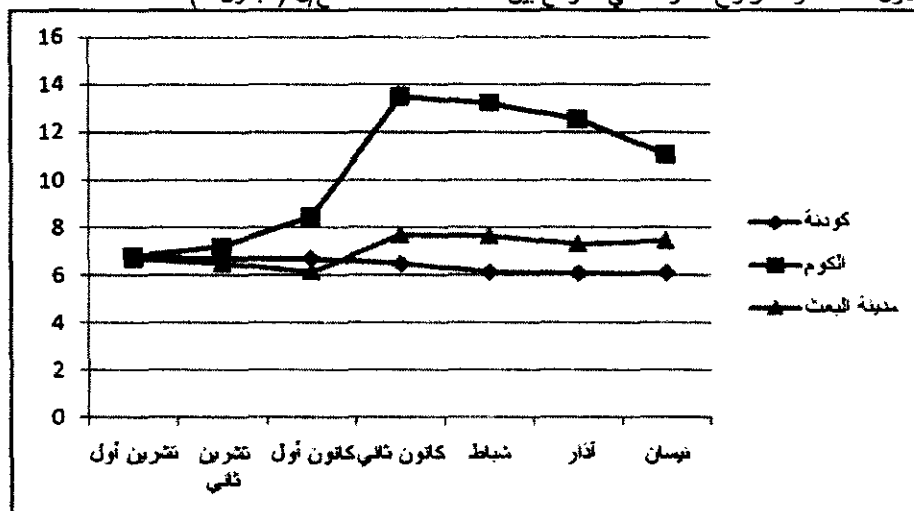
**٥.٢ الكلسيوم  $\text{Ca}^{+2}$ :** يبين الشكل ٦ تركيزات شوارد الكالسيوم، حيث سُجلت في كونته أعلى قيمة (٤٠.٩١ ملغم/ل) في تشرين الأول ٢٠١٠، وأنهى قيمة (٢٤.١٠ ملغم/ل) في آذار ٢٠١١، وسجلت في الكوم أعلى قيمة (٣٦.٨١ ملغم/ل) في كانون الثاني ٢٠١١، وأنهى قيمة (٢٥.١٩ ملغم/ل) في تشرين الأول ٢٠١٠، وسجلت في مدينة البعث أعلى قيمة (٢٥.٧ ملغم/ل) في كانون الثاني وأنهى قيمة (١٥.٩ ملغم/ل) في نيسان ٢٠١٠، وقد تراوح المتوسط في الواقع بين ١٥.٩ - ٣٦.٨٦ ملغم/ل (الجدول ١).



- الشكل ٦. التغيرات الشهرية لتركيز شوارد الصوديوم في تجمعات مياه الأمطار بين ٢٠١٠/١٠ - ٢٠١١/٤.

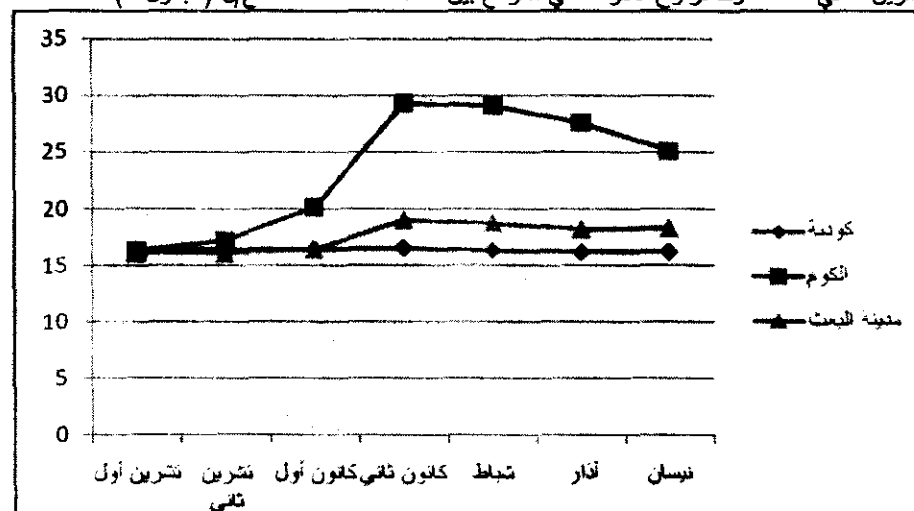
**٦.٢ المتفزيوم  $Mg^{+2}$ :** بين الشكل ٧ ترکیز شوارد المتفزیوم، حيث سُجلت في كونته أعلى قيمة (٦.٧٥ ملغم/ل) في تشرين الأول ٢٠١٠، وأدنى قيمة (٦.٠٨ ملغم/ل) في آذار ٢٠١١، وسُجلت في الكوم أعلى قيمة (١٣.٤٩ ملغم/ل) في كانون الثاني ٢٠١١، وأدنى قيمة (٦.٨٠ ملغم/ل) في تشرين الأول ٢٠١٠، وسجلت في

مدينة البعث أعلى قيمة (٧.٦٨ ملغم/ل) في كانون الثاني ٢٠١١، وأنهى قيمة (٦.١٤ ملغم/ل) في كانون الأول ٢٠١٠، وقد تراوح المتوسط في الواقع بين ٦.٠٨ - ٦.٣٩ ملغم/ل (الجدول ١).



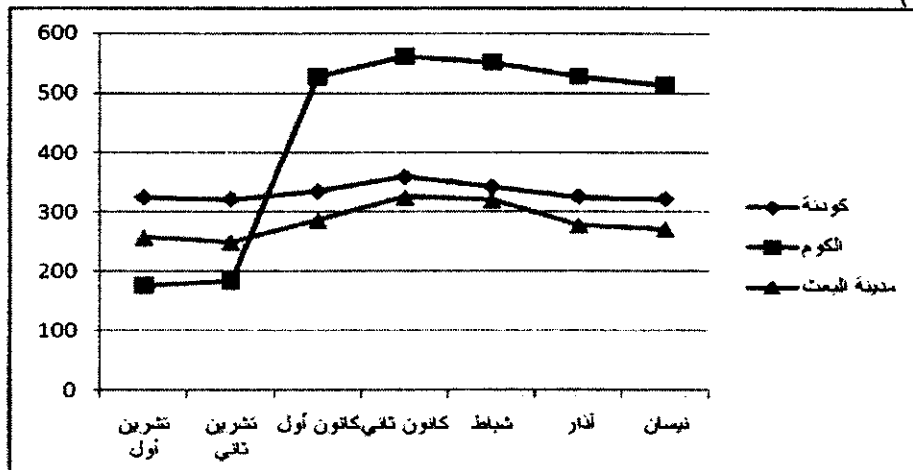
الشكل ٧. التغيرات الشهرية لتركيز شوارد المغنتيوم في تجمعات مياه الأمطار بين ٢٠١٠/١٠ - ٢٠١١/٤.

٧.٢ الكلوريدات Cl<sup>-</sup>: بين الشكل ٨ تركيز شوارد الكلوريدات، حيث سجلت في كوانة أعلى قيمة (١٦.٥٣) ملغم/ل) في كانون الثاني ٢٠١١، وأنهى قيمة (١٦.١٥) ملغم/ل) في آذار ٢٠١١، وسجلت في الكوم أعلى قيمة (٢٩.٣٢) ملغم/ل) في كانون الثاني ٢٠١١، وأنهى قيمة (١١.٣٢) ملغم/ل) في تشرين الأول ٢٠١٠، وسجلت في مدينة البعث أعلى قيمة (١٨.٩٩) ملغم/ل) في كانون الثاني ٢٠١١، وأنهى قيمة (١٦.١٠) ملغم/ل) في تشرين الثاني ٢٠١٠، وقد تراوح المتوسط في الواقع بين ١٦.١٠ - ٢٩.٣٢ ملغم/ل (الجدول ١).



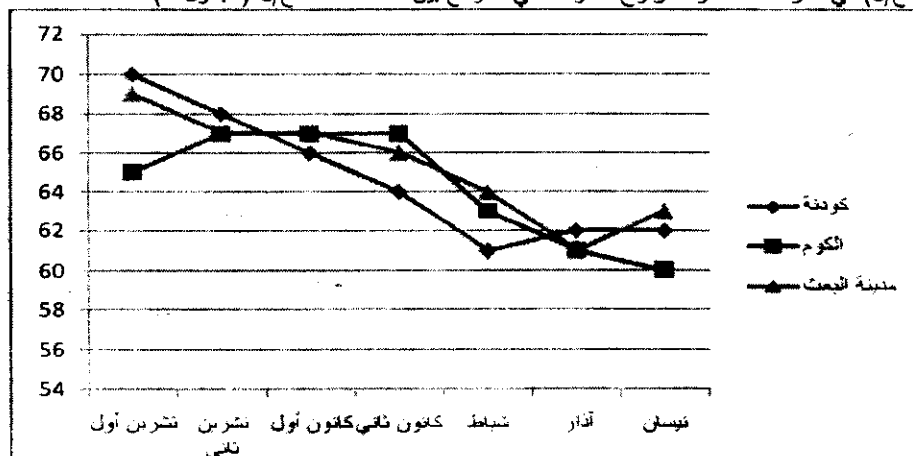
الشكل ٨. التغيرات الشهرية لتركيز شوارد الكلوريدات في تجمعات مياه الأمطار بين ٢٠١٠/١٠ - ٢٠١١/٤.

٨.٢ الكبريتات  $\text{SO}_4^{2-}$ : يبين الشكل ٩ تركيز شوارد الكبريتات، حيث سُجلت في كودنة أعلى قيمة (٣٥٩ ملخ/ل) في كانون الثاني ٢٠١١، وأدنى قيمة (٣٢١ ملخ/ل) في تشرين الثاني ٢٠١٠. وفي نيسان ٢٠١١، وسُجلت في الكوم أعلى قيمة (٥٦١ ملخ/ل) في كانون الثاني ٢٠١١، وأدنى قيمة (١٧٦ ملخ/ل) في تشرين الأول ٢٠١٠، وسُجلت في مدينة البعث أعلى قيمة (٣٢٥ ملخ/ل) في كانون الثاني ٢٠١١، وأدنى قيمة (٢٤٩ ملخ/ل) في تشرين الثاني ٢٠١٠، وقد تراوح المتوسط في الموضع بين ١٧٦ - ٥٦١ ملخ/ل (الجدول ١).



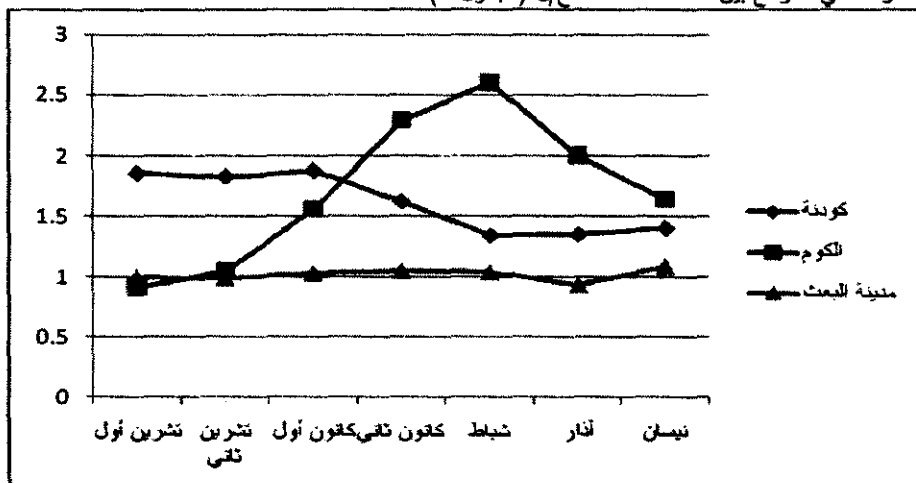
الشكل ٩. التغيرات الشهرية لتركيز شوارد الكبريتات في تجمعات مياه الأمطار بين ٢٠١٠/٤ - ٢٠١١/٤.

٩.٢ النترات  $\text{NO}_3^-$ : يبين الشكل ١٠ تركيز شوارد النترات، حيث سُجلت في كودنة أعلى قيمة (٧٠ ملخ/ل) في تشرين الأول ٢٠١٠، وأدنى قيمة (٦١ ملخ/ل) في شباط ٢٠١١، وسُجلت في الكوم أعلى قيمة (٦٧ ملخ/ل) في تشرين الثاني وكانون الأول ٢٠١٠ وكانون الثاني ٢٠١١، وأدنى قيمة (٦٠ ملخ/ل) في نيسان ٢٠١١، وسُجلت في مدينة البعث أعلى قيمة (٦٩ ملخ/ل) في تشرين الأول ٢٠١٠، وأدنى قيمة (٦١ ملخ/ل) في آذار ٢٠١١، وقد تراوح المتوسط في الموضع بين ٦٠ - ٧٠ ملخ/ل (الجدول ١).



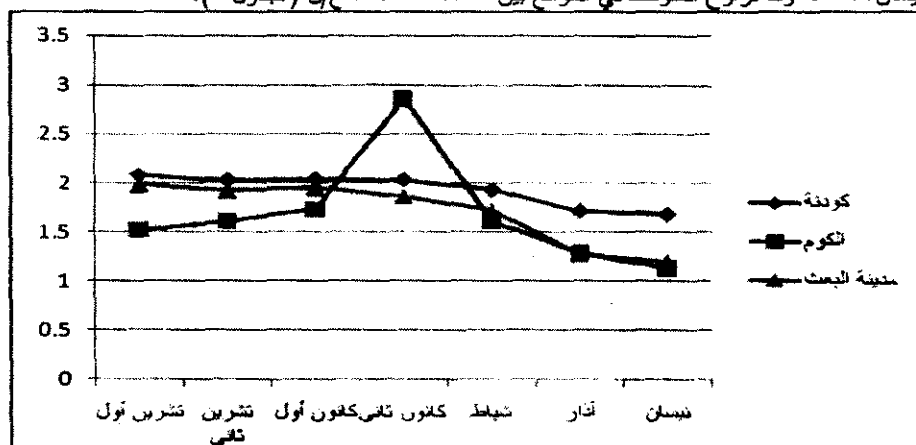
الشكل ١٠. التغيرات الشهرية لتركيز شوارد النترات في تجمعات مياه الأمطار بين ٢٠١٠/٤ - ٢٠١١/٤.

١٠.٢  $\text{NO}_2$ : يبين الشكل ١١ تركيز شوارد النتريت، حيث سُجلت في كونية أعلى قيمة (١.٨٨ ملخ/ل) في كانون الأول ٢٠١٠، وأدنى قيمة (١.٣٤ ملخ/ل) في شباط ٢٠١١، وسُجلت في الكوم أعلى قيمة (٢.١ ملخ/ل) في شباط ٢٠١١، وأدنى قيمة (٠.٩١ ملخ/ل) في تشرين الأول ٢٠١٠، وسُجلت في مدينة البعث أعلى قيمة (١.٠٩ ملخ/ل) في نيسان ٢٠١١، وأدنى قيمة (٠.٩٣ ملخ/ل) في ذار ٢٠١١، وقد تراوح المتوسط في الموضع بين ٠.٩١ - ٢.٦ ملخ/ل (الجدول ١).



الشكل ١١. التغيرات الشهرية لتركيز شوارد النتريت في تجمعات مياه الأمطار بين ٢٠١٠/٤ - ٢٠١١/٤.

١١.٢  $\text{PO}_4^{3-}$ : يبين الشكل ١٢ تركيز شوارد الفوسفات، حيث سُجلت في كونية أعلى قيمة (٢.٠٨ ملخ/ل) في تشرين الأول ٢٠١٠، وأدنى قيمة (١.٦٨ ملخ/ل) في نيسان ٢٠١١، وسُجلت في الكوم أعلى قيمة (٢.٨٦ ملخ/ل) في كانون الثاني ٢٠١١، وأدنى قيمة (١.١٢ ملخ/ل) في نيسان ٢٠١١، وسُجلت في مدينة البعث أعلى قيمة (١.٩٨ ملخ/ل) في تشرين الأول ٢٠١٠، وأدنى قيمة (١.١٩ ملخ/ل) في نيسان ٢٠١١، وقد تراوح المتوسط في الموضع بين ١.١٣ - ٢.٨٦ ملخ/ل (الجدول ١).



الشكل ١٢. التغيرات الشهرية لتركيز شوارد الفوسفات في تجمعات مياه الأمطار بين ٢٠١٠/٤ - ٢٠١١/٤.

الجدول ١: متوسط قيم الدلالات الفيزيائية والكميائية لتجمعات مياه الأمطار بين ٢٠١٠/١٠ - ٢٠١١/٤ مللي/ل (ماعدا الرقم الهيدروجيني، والناقلة الكهربائية . cm / μs )

٢٠١١				٢٠١٠			الاختبارات الكميائية
نisan	آذار	شباط	كتون ثالثي	كتون أول	تشرين ثالثي	تشرين أول	
8.01	7.62	7.84	7.96	7.95	7.74	7.76	الكرنة
319	308	318	339	340	335	339	
1.2	1.1	1.0	1.0	0.9	0.5	0.7	
6.17	6.12	6.16	6.35	6.45	6.42	6.47	
24.12	24.10	24.22	24.59	24.81	24.78	24.89	
6.09	6.08	6.13	6.49	6.72	6.71	6.75	
16.19	16.15	16.29	16.53	16.43	16.40	16.43	
321	325	342	359	334	321	324	
62	62	61	64	66	68	70	
1.40	1.35	1.34	1.62	1.88	1.83	1.86	
1.68	1.71	1.93	2.03	2.04	2.03	2.08	
8.0	8.62	8.86	8.95	8.89	7.98	7.88	
367	403	413	420	317	356	341	
1.2	1.8	2.0	2.3	1.5	1.4	0.9	
12.06	13.09	13.29	13.52	7.60	6.43	6.38	
35.87	36.26	36.58	36.86	31.22	26.01	25.19	
11.08	12.54	13.22	13.49	8.45	7.21	6.80	
25.12	27.59	29.08	29.32	20.16	17.22	16.32	
513	528	551	561	527	184	176	الكرم
60	61	63	67	67	67	65	
1.64	2.0	2.6	2.29	1.56	1.05	0.91	
1.13	1.29	1.61	2.86	1.73	1.61	1.52	
7.43	7.63	8.60	8.63	8.13	7.27	7.34	
328	331	401	406	383	342	345	
0.9	0.9	1.0	0.9	0.6	0.7	0.8	
6.49	6.69	7.25	7.14	6.19	6.28	6.32	
15.9	17.1	25.3	25.7	24.7	25.3	25.1	
7.45	7.32	7.65	7.68	6.14	6.49	6.69	
18.28	18.21	18.73	18.99	16.42	16.10	16.15	
271	278	319	325	286	249	257	
63	61	64	66	67	67	69	
1.09	0.93	1.04	1.05	1.03	0.99	1.0	
1.19	1.27	1.72	1.86	1.95	1.92	1.98	
PO4 <sup>-3</sup>							

١٢.٢ التحليل الإحصائي Statistician analyze: أجريت التحليل الإحصائي باستعمال برنامج SPSS-V18، حيث ذُرست الفروق المعنوية بين متوسط كل من المتغيرات الكميائية في الواقع في فترة الدراسة باستعمال اختبار One Way Anova بعد معرفة تجانس العينة، كما درست معاملات الارتباط باستعمال معامل الارتباط بيرسون.

يتضح من قيم معاملات ارتباط بيرسون في عينات موقع كونته الآتي (الجدول ٢):

- وجود علاقة ارتباط طردية قوية جداً معنوية بين الفوسفات وكل من الكلور والكلسيوم والمغنزيوم والناقلة الكهربائية، وبين النترات وكل من المغنزيوم والكلسيوم والصوديوم والنترات والنترات والناقلة الكهربائية، وبين المغنزيوم وكل من الكلسيوم والصوديوم، وبين المغنزيوم والناقلة الكهربائية، وبين المغنزيوم والصوديوم، وبين المغنزيوم والناقلة الكهربائية، وبين الصوديوم والناقلة الكهربائية عند

- مستوى معنوي ٠٠٠١%， وبين الفوسفات وكل من التترات والصوديوم، وبين التترات والناقلة الكهربائية، وبين الكلور وكل من المغنزيوم والكلسيوم والصوديوم عند مستوى معنوي ٠٠٠٠٥٪.
- وجود علاقة ارتباط عكسية قوية معنوية بين الأمونيوم وكل من التترات والنترات والمغنزيوم عند مستوى معنوي ٠٠٠٥٪.
  - وجود علاقة ارتباط سلبية بين الفوسفات والأمونيوم، وبين التترات والكبريتات، وبين التترات وال الكبريتات وpH، وبين الكليريات والمغنزيوم، وبين الكلور والأمونيوم، وبين الأمونيوم والناقلة الكهربائية.
  - وجود علاقة ارتباط ضعيفة وقد تكون معدومة بين الفوسفات والنترات وال الكبريتات وpH، وبين التترات والكلور وpH، وبين الكبريتات والكلسيوم والصوديوم والأمونيوم والناقلة الكهربائية وpH، وبين pH والكلور والمغنزيوم والكلسيوم والصوديوم والأمونيوم والناقلة الكهربائية.

الجدول ٢. قيم معاملات ارتباط بيرسون بين متغيرات الدراسة في كوكينة بالقسطرة.

		المتغيرات									
pH	Con.	NH <sub>4</sub> <sup>+</sup>	Na <sup>+</sup>	Ca <sup>2+</sup>	Mg <sup>2+</sup>	Cl <sup>-</sup>	SO <sub>4</sub> <sup>2-</sup>	NO <sub>3</sub> <sup>-</sup>	NO <sub>2</sub> <sup>-</sup>	PO <sub>4</sub> <sup>3-</sup>	PO <sub>4</sub> <sup>3-</sup>
٠.٠٥٧	٠.٨٨١٩٥	-٠.٧٤٥	٠.٨٧٣	٠.٩٧٩	٠.٨٧٨	٠.٩١٩٦٠	٠.٣٥٠	٠.٧٢٨	٠.٨١٠	١	PO <sub>4</sub> <sup>3-</sup>
٠.٠٤٩	٠.٩١٠٠٠	-٠.٧٧٩	٠.٩٨٧	٠.٩٧٨	٠.٩٩٠	٠.٧٥٣	-٠.١٠٤	٠.٩٢٢٠	١		NO <sub>2</sub> <sup>-</sup>
٠.١٩٤	٠.٧٧٠	-٠.٨٤٨	٠.٩١٢	٠.٩١٧	٠.٩١٢	٠.٦٦٦	-٠.٢٩١	١			NO <sub>3</sub> <sup>-</sup>
٠.٢٠٨	٠.٢٦٨	-٠.٢٤٤	٠.٠١٩	٠.٠٣٥	-٠.٠٩	٠.٥٤٣	١				SO <sub>4</sub> <sup>2-</sup>
٠.٣٢	٠.٩٣٨	-٠.٥٥٣	٠.٨٣٨	٠.٨٤٢	٠.٨١٥	١					Cl <sup>-</sup>
٠.٠١٨	٠.٩٢٢	-٠.٨١٥	٠.٩٩٣	٠.٩٩٦	١						Mg <sup>2+</sup>
٠.٠٣١	٠.٩٣٣	-٠.٨٠٦	٠.٩٩٣	١							Ca <sup>2+</sup>
٠.١١٢	٠.٩٥١	-٠.٧٦٢	١								Na <sup>+</sup>
٠.٣٦٦	-٠.٦١٨	١									NH <sub>4</sub> <sup>+</sup>
٠.٣٥٦	١										Con.
	١										PH

\*\* Correlation is significant at the level 0.01

\*Correlation is significant at the level 0.05

- ويتضح من قيم معاملات ارتباط بيرسون في عينات موقع الكوم الآتي (الجدول ٣) :
- عدم وجود علاقة ارتباط معنوية بين كل من الفوسفات وجميع متغيرات الدراسة، وبين التترات وجميع متغيرات الدراسة.
  - وجود علاقة ارتباط قوية معنوية بين التترات وال الكبريتات والمغنزيوم والكلسيوم والصوديوم عند مستوى معنوي ٠٠٠٥٪ والأمونيوم والناقلة الكهربائية وpH عند مستوى معنوي ٠٠٠١٪، وبين الكبريتات والكلور والمغنزيوم والصوديوم وpH عند مستوى معنوي ٠٠٠١٪ والمغنزيوم عند مستوى معنوي ٠٠٠٥٪، وبين الكلور والمغنزيوم والكلسيوم والصوديوم عند مستوى معنوي ٠٠٠٠٥٪ والأمونيوم والناقلة الكهربائية عند مستوى معنوي ٠٠٠١٪، وبين المغنزيوم والكلسيوم والصوديوم والناقلة الكهربائية عند مستوى معنوي ٠٠٠٥٪ والأمونيوم عند مستوى معنوي ٠٠٠١٪، وبين الكلسيوم والصوديوم عند مستوى معنوي ٠٠٠٥٪، وبين الأمونيوم والناقلة الكهربائية عند مستوى معنوي ٠٠٠١٪.
  - وجود علاقة ارتباط سلبية بين الكبريتات والأمونيوم والناقلة الكهربائية، وبين الكبريتات والكلور وpH، وبين المغنزيوم وpH، وبين الكلسيوم والأمونيوم والناقلة الكهربائية وpH، وبين الصوديوم والأمونيوم وpH.
  - وجود علاقة ارتباط ضعيفة بين الناقلة الكهربائية وpH.

الجدول ٣. قيم معاملات ارتباط بيرسون بين متغيرات الدراسة في الكوم بالقبيطرة.

		المتغيرات									
pH	Con.	$\text{NH}_4^+$	$\text{Na}^+$	$\text{Ca}^{+2}$	$\text{Mg}^{+2}$	$\text{Cl}^-$	$\text{SO}_4^{+2}$	$\text{NO}_3^-$	$\text{NO}_2^-$	$\text{PO}_4^{+3}$	
٠.٥٤٩	٠.٣٦٣	٠.٣٥٦	٠.٢٠٣	٠.١٧٩	٠.٣٠٥	٠.٢٨٩	٠.٢١٣	٠.٦٧٤	٠.٣٤٢	١	$\text{PO}_4^{+3}$
٠.٨٠١*	٠.٨٠٣*	٠.٨٦٨*	٠.٩٢٠*	٠.٩٠٥**	٠.٩٤٩**	٠.٩٥٣**	٠.٨٥٧*	-٠.٢٦٩	١		$\text{NO}_2^-$
٠.١٩٩	-٠.٣١١	٠.١٣١	-٠.٥٣٩	-٠.٥٦	-٠.٤٢٢	-٠.٤٣١	-٠.٣٤١	١			$\text{NO}_3^-$
٠.٧٨٩*	٠.٤٩٥	٠.٦٨٤	٠.٨١٢*	٠.٩٣٧**	٠.٨٧٩*	٠.٨٦٠*	١				$\text{SO}_4^{+2}$
٠.٦٦٧	٠.٦٦٦*	٠.٨١٤*	٠.٨٨٨**	٠.٩٦٩**	٠.٩٩٩**	١					$\text{Cl}^-$
٠.٦٥٨	٠.٨٨٥**	٠.٨٢٠*	٠.٩٨٩**	٠.٩٥٨**	١						$\text{Mg}^{+2}$
٠.٦٤٩	٠.٧٢٦	٠.٧١٧	٠.٩٦٤**	١							$\text{Ca}^{+2}$
٠.٠٠٥	٠.٨٦٩*	٠.٧٣١	١								$\text{Na}^+$
٠.٨٤٨*	٠.٧٨٦*	١									$\text{NH}_4^+$
٠.٤٣٦	١										Con.
	١										PH

\*\* Correlation is significant at the level 0.01

\*Correlation is significant at the level 0.05

ويتضح من قيم معاملات ارتباط بيرسون في عينات موقع مدينة البعث الآتي (الجدول ٤) :

- وجود علاقة ارتباط قوية معنوية بين الفوسفات والتترات والكلسيوم عند مستوى معنوي ٠٠٠٥ %، وبين التترات والكلسيوم عند مستوى معنوي ٠٠٠١ %، وبين الكبريتات والكلور والصوديوم والناقلة الكهربائية عند مستوى معنوي ٠٠٠١ pH % وعند مستوى معنوي ٠٠٠٥ pH %، وبين المغنزيوم والأمونيوم عند مستوى معنوي ٠٠٠٥ %، وبين الصوديوم والأمونيوم وبين pH عند مستوى معنوي ٠٠٠٥ %، وبين الناقلة الكهربائية وبين pH عند مستوى معنوي ٠٠٠١ %.
- وجود علاقة ارتباط سلبية بين الفوسفات والتترات والكلور والمغنزيوم والصوديوم والأمونيوم، وبين التترات والفوسفات والكلور والمغنزيوم والصوديوم والأمونيوم، وبين الكلور والكلسيوم، وبين المغنزيوم والكلسيوم، وبين الكلسيوم والأمونيوم.
- وجود علاقة ارتباط ضعيفة وقد تكون معدومة بين الفوسفات وال الكبريتات والناقلة الكهربائية وpH، وبين التترات وجميع المتغيرات المدروسة، وبين التترات والناقلة الكهربائية، وبين الكبريتات والصوديوم والكلسيوم والأمونيوم، وبين الكلور والناقلة الكهربائية وpH، وبين المغنزيوم والناقلة الكهربائية وpH، وبين الكلسيوم والصوديوم والناقلة الكهربائية وpH، وبين الصوديوم والناقلة الكهربائية، وبين الأمونيوم والناقلة الكهربائية وpH.

الجدول ٤. قيم معاملات ارتباط بيرسون بين متغيرات الدراسة في مدينة البعث بالقبيطرة.

		المتغيرات									
pH	Con.	$\text{NH}_4^+$	$\text{Na}^+$	$\text{Ca}^{+2}$	$\text{Mg}^{+2}$	$\text{Cl}^-$	$\text{SO}_4^{+2}$	$\text{NO}_3^-$	$\text{NO}_2^-$	$\text{PO}_4^{+3}$	
٠.٢١٢	٠.٥٢٠	-٠.٥٣٠	-٠.١٥٩	٠.٩٧**	-٠.٥٣٩	-٠.٥٤٩	٠.٢٩	٠.٩٣**	-٠.١١٥	١	$\text{PO}_4^{+3}$
٠.٢٢٩	٠.٣٧٠	٠.١٤٨	٠.١٩٠	٠.٤٩	٠.٢٦٣	٠.٣٠٣	٠.٣٥٥	٠.١٢٤	١		$\text{NO}_2^-$
-٠.٩٤	٠.٢٣٦	-٠.٥٩٦	-٠.٤١١	٠.٧٨١	-٠.٦١٧	-٠.٦٩٣	-٠.٢٤٤	١			$\text{NO}_3^-$
٠.٩٧٣*	٠.٨٥٨*	٠.٥١٥	٠.٦٦٢	٠.٢٤٧	٠.٦٣١	٠.٧٧٨	١				$\text{SO}_4^{+2}$
٠.٦٢١	٠.٣٦٤	٠.٨٤٥*	٠.٨٧٥*	-٠.٣٢٥	٠.٩٤٢**	١					$\text{Cl}^-$
٠.٤٤٧	٠.٢٢	٠.٩٥٦**	٠.٨٧٢	-٠.٣١٢	١						$\text{Mg}^{+2}$
٠.٤١١	٠.٦٨٤	-٠.٣٠٦	٠.١١٢	١							$\text{Ca}^{+2}$
٠.٧٦٧*	٠.٦١٨	٠.٨٢٠*	١								$\text{Na}^+$
٠.٣٣٧	٠.١٢٤	١									$\text{NH}_4^+$
٠.٩٤١	١										Con.
	١										PH

\*\* Correlation is significant at the level 0.01

\*Correlation is significant at the level 0.05

ولمعرفة فيما إذا كانت هناك فروق ذات دلالة إحصائية بين قيم متوسطات المتغيرات باختلاف موقع الدراسة استعمل اختبار تحليل التباين الأحادي الذي كانت أهم نتائجه وفق الآتي (الجدول ٥):

الجدول ٥. نتائج اختبار تحليل التباين الأحادي لمعرفة دلالة الفروق بين متوسطات المتغيرات في موقع الدراسة.

المتغيرات	كودنة	ال القوم	مدينة البعث	المتوسطات الحسابية	
				قيمة F المحسوبة	مصدر الفرق دلالة إحصائية واتجاهها بوسائل LSD اختبار دلالة فرق معنوي
PO <sub>4</sub> <sup>-3</sup>	١.٩٣	١.٦٨	١.٧٠	٠.٨٩٧	لا تردد فرق دلالة إحصائية بين متوسطات الفوسمات في الموقع الثالثة.
NO <sub>2</sub>	١.٦١	١.٧٢	١.٠٢	٠٠٦٠٦٧٣	يش كودنة وموقع مدينة البعث وصلاح موقع كونته، وبين موقع الكوم وموقع مدينة البعث وصلاح موقع الكوم.
SO <sub>4</sub> <sup>-2</sup>	٦٤.٧١	٦٤.٢٩	٦٥.٢٩	٠.١٨٨	لا تردد فرق دلالة إحصائية بين متوسطات الفوسفات في الموقع الثالثة.
Cl <sup>-</sup>	١٦.٣٥	٢٣.٥٤	٢٣.٥٧	٠٠٣٢.٢٩	بين موقع الكوم وموقع مدينة البعث وصلاح موقع الكوم.
Mg <sup>+2</sup>	٦.٤٢	٦.٤٠	٧.٠٦	٠٠١٠.٩٧٧	بين موقع الكوم وكل من موقعي كونته ومدينة البعث وصلاح موقع الكوم.
Ca <sup>+2</sup>	٢٤.٥٠	٣٢.٥٧	٢٢.٧٣	٠٠١٢.٨٩٣	بين موقع الكوم وكل من موقعي كونته ومدينة البعث وصلاح موقع الكوم.
Na <sup>+</sup>	٦.٣١	١٠.٣٤	٦.٦٢	٠٠٩٩.١٧٣	بين الموقع الكوم وكل من موقعي كونته ومدينة البعث وصلاح موقع الكوم.
NH <sub>4</sub> <sup>+</sup>	٠.٩١	١.٥٩	٠.٨٣	٠٠١١.٦٩٩	بين الموقع الكوم وكل من موقعي كونته ومدينة البعث وصلاح موقع الكوم.
Con.	٣٢٨.٢٩	٣٧٣.٦٧	٣٣٢.٦٩	٤.١٨٢	بيان موقع كونته وبموقع الكوم وصلاح موقع الكوم.
PH	٧.٨٤	٨.٤٥	٧.٨٧	٤.٢٨٠	بيان موقع الكوم وكل من موقعي كونته ومدينة البعث وصلاح موقع الكوم.

\* دلالة إحصائي عند مستوى معنوي ٠٠٠٠٠%. \*\* دلالة إحصائي عند مستوى معنوي ٠٠٠٠١%.

#### المناقشة

كانت نتائج التحاليل الكيميائية لمكونات تجمعات مياه الأمطار في مواقع الدراسة الثلاثة المختلفة (كودنة، الكوم، مدينة البعث) بمحافظة القنيطرة، وفق الآتي:

- تراوحت قيم pH بين ٨.٩٥ - ٧.٢٧، مما يؤكد أن الأمطار متعالية وقلوية وبالتالي غياب الأمطار الحمضية، ويعود ذلك للتاثير القوي لنبار الترب القلوية بالمنطقة. إضافة إلى أن التفاعلات غير المرغوب فيها لن تحدث في الظروف القلوية هذه [20]. كانت قيم pH ضمن المعايير القياسية السورية لمياه الشرب (٦.٥ - ٨.٥) [21]، ومعايير منظمة الصحة العالمية WHO (٦.٥ - ٨.٥) [22].

- تراوحت قيم الناقلية الكهربائية Electrical Conductivity بين ٤٢٠ - ٣٠٨ cm/ $\mu$ s، حيث ترتبط مباشرة بتركيزات المواد الأيونية، وللفازات الذائية تأثير خاص في الناقلية [25]. كانت قيم الناقلية الكهربائية ضمن المعايير القياسية السورية لمياه الشرب (٢٠٠٠) 2000 (cm/ $\mu$ s) [21]، ومعايير منظمة الصحة العالمية WHO (فوق ٢٠٠٠) 2000 (cm/ $\mu$ s) [24].

- تراوحت قيم أيونات الأمونيوم NH<sub>4</sub><sup>+</sup> بين ٢.٣ - ٠.٦ ملخ/ل، ووجودها دليل على النشاط الإنساني [26]. تجاوزت قيم أيونات الأمونيوم المعايير القياسية السورية لمياه الشرب (٠.٥٥ ملخ/ل) [21].

- تراوحت قيم أيونات الصوديوم N<sub>٤</sub><sup>+</sup> بين ١٣.٥٢ - ٦.١٢ ملخ/ل، ويعود وجودها بسبب مساهمة الغبار المحلي والمناطق الزراعية والطرق، إضافة إلى قلة كميات مياه الأمطار الساقطة التي تخفض من إزالة الجزيئات العلاقة عن طريق عملية الترسيب الرطب Wet Deposition [27]. كانت قيم أيونات الصوديوم ضمن المعايير القياسية السورية لمياه الشرب (٢٠٠ ملخ/ل) [21]، ومعايير منظمة الصحة العالمية WHO (٦٠٠ ملخ/ل) [24، ٢٢].

- تراوحت قيم أيونات الكلسيوم Ca<sup>+2</sup> بين ٣٦.٨٦ - ١٥٥.٩ ملخ/ل، ويعود سبب وجودها لإحاطة الجبال العديدة ومقالع الأحجار بالمنطقة بشكل عام، فعملية تكسير مختلفات الأحجار تعد مصدراً مهماً لل دقائق العالقة في الجو، إضافة إلى أن الصخور تتكون أساساً من كربونات الكلسيوم [٢٨]. كانت قيم أيونات الكلسيوم ضمن المعايير القياسية السورية لمياه الشرب (٠.٠٣ ملخ/ل) [21]، ومعايير منظمة الصحة العالمية WHO (٢٠٠ ملخ/ل) [22، ٢٤].

- تراوحت قيم أيونات المغنزيوم  $Mg^{+2}$  بين ١٢.٤٩ - ٦.٨ ملخ/ل، ويعود سبب وجودها للغبار المحلي في منطقة الدراسة بشكل عام [٢٩]. كانت قيم أيونات المغنزيوم ضمن معايير منظمة الصحة العالمية WHO (٣٠ - ١٥٠ ملخ/ل) [٢٢، ٢٣، ٢٤].
- تراوحت قيم الكلوريدات  $Cl^-$  بين ٢٩.٣٢ - ١٦.١٠ ملخ/ل، ويعود سبب وجودها للغبار المحلي بمنطقة الدراسة بشكل عام، حيث يساهم في تلوث مياه الأمطار بتركيزات عالية ولاسيما خلال فترة سقوط الأمطار [٢٩]. كانت قيم الكلوريدات ضمن المعايير القياسية السورية لمياه الشرب (٢٥٠ ملخ/ل) [٢١]، وضمن معايير منظمة الصحة العالمية WHO (٢٠٠ - ٦٠٠ ملخ/ل) [٢٢، ٢٣، ٢٤].
- تراوحت قيم أيونات الكبريتات  $SO_4^{2-}$  بين ٥٦١ - ٢٤٩ ملخ/ل، وتعزى مصادرها المحتملة الرئيسية لغازات الكبريت التي تطلق في الجو نتيجة النشاط الإنساني، إضافة إلى العمليات الصناعية، لذلك تعتقد كمية الكبريتات على حجم الهطول المطرية، على أية حال، تعد نقانق الجبس  $CaSO_4 \cdot 2H_2O$  المحملة في الهواء مصدراً آخر للكبريتات عندما تفضل بالأمطار الساقطة [٣٠]. كانت قيم أيونات الكبريتات ضمن المعايير القياسية السورية لمياه الشرب ماعدا موقع الكوم، حيث يدل وجودها بنسبي عالية على الاستعمال المكثف للأسمدة الكريتية [١٨]، إذ تجاوزت القيم الحد الأقصى المسموح به في المعايير القياسية السورية لمياه الشرب (٢٥٠ ملخ/ل) [٢١]، ومعايير منظمة الصحة العالمية WHO (٢٠٠ - ٤٠٠ ملخ/ل) [٢٢، ٢٣، ٢٤].
- تراوحت قيم التترات  $NO_3^-$  بين ٧ - ١٠ ملخ/ل، وتنتجه مصادرها الأساسية غالباً من المخصبات غير العضوية والأسمدة الحيوانية، ومن الاستعمال المكثف للأسمدة التتروجينية، إضافة إلى المركبات التتروجينية المحملة بالجرو والمتبعة من الصناعات [٣٢، ٣١]. تجاوزت قيم التترات الحد الأقصى المسموح به في المعايير القياسية السورية لمياه الشرب (٠١٠ ملخ/ل) [٢١]، ومعايير منظمة الصحة العالمية WHO (٤٠ ملخ/ل) [٢٤، ٢٣، ٢٢].
- تراوحت قيم التتریت  $NO_2^-$  بين ٢.٦ - ٠.٩١ ملخ/ل، ومصادرها الأساسية من النباتات ومفرزات الحيوانات والهباء والصرف الصحي والأسمدة التتروجينية [١٨، ٣٢]. تجاوزت قيم التتریت الحد الأقصى المسموح به في المعايير القياسية السورية لمياه الشرب (٠٠١ ملخ/ل) [٢١].
- تراوحت قيم الفوسفات  $PO_4^{3-}$  بين ٢.٨٦ - ١.٣١ ملخ/ل، ووجودها بسبب تأكل الصخور وغسلها بمياه الأمطار، إضافة إلى الاستعمال المكثف للأسمدة الفوسفاتية والمنظفات. بعد الفوسفور أحد المغذيات المحددة لنمو النباتات وإن وُجد بكميات كبيرة في المياه فإنه يؤدي إلى ظاهرة الإثراء الغذائي [٣٣]. تجاوزت القيم الحد الأقصى المسموح به في المعايير القياسية السورية لمياه الشرب (٠.٥ ملخ/ل) [٢١].

## الاستنتاجات Conclusions

إن دراسة التركيب الكيميائي لمياه الأمطار التي أجريت في الفترة بين تشرين الأول ٢٠١٠ ونيسان ٢٠١١ لثلاثة مواقع بمحافظة القنيطرة، تمثل الدراسة الأولى للمكونات الكيميائية لتجمعات مياه الأمطار، ويمكن استنتاج الآتي:

- مياه الأمطار قلوية نسوجياً نتيجة الارتباطات القوية بين  $Ca^{+2}$  وأنواع أيونية أخرى، وكانت المجموعة متعدلة.
- تختلف العناصر الموجودة في المياه بحسب الموقع وخصائصه.
- قد لا يمثل الإيداع الجوي دائمًا أو يساهم في الحمل الكلي للملوثات في تجمعات مياه الأمطار.
- إن الاختلافات الشهرية في الإيداع الجوي للأيونات تتأثر بنسبية سقوط الأمطار وتركيز أنواع الأيونات.
- تسود الأيونات  $NO_3^-$ ,  $PO_4^{3-}$ ,  $NO_2^-$ ,  $SO_4^{2-}$ ,  $NH_4^+$  في كيميائية تجمعات مياه الأمطار لموقع الدراسة.

## النوصيات Recommendations

- استكمال الدراسة بإجراء التحاليل الميكروبولوجية لتجمعات مياه الأمطار.
- إجراء التحاليل الفيزيائية والكيميائية والبكتيرية بعد سقوط الأمطار لإعطاء فكرة عن مدى صلاحيتها للاستعمال بحسب الغرض (الشرب، الزراعة، الصناعة).

- معالجة تجمعات مياه المطر قبل الاستعمال والخزن وتحديد نوع المعالجة بحسب الغرض من استعمالها.

## REFERENCES المراجع

- [1] Mostafa, M.G., (2007). Rainwater for Sustainable Domestic and Irrigation Water Use in South Asia, *Institute of Environmental Science, University of Rajshahi, Rajshahi-6205, Bangladesh.*
- [2] Furumai, H., (2008). Rainwater and reclaimed wastewater for sustainable urban water use, Physics and Chemistry of the Earth, Parts A/B/C 33 (5),pp. 340–346.
- [3] Virginia Rainwater Harvesting Manual,(2007)."A comprehensive guide to examining, designing and maintaining rainwater harvesting systems to abate stormwater runoff", The Cabell Brand Center Salem, VA,pp.1-53. [www.cabellbrandcenter.org](http://www.cabellbrandcenter.org).
- [4] Nasserdine, K., Mimi, Z., Bevan, B., Elian, B., (2009). Environmental management of the stone cutting industry. Journal of Environmental Management 90, 466-470.
- [5] Dinnifo, R.R., Babatunde, Bankole, S.O.E., Y.O., Demu, Q.A.(2010). Physico- Chemical Properties of Rain Water Collected from Some Industrial Areas of Lagos State Nigeria. European Journal of Scientific Research, ISSN 1450-216X Vol.41 No.3 (2010), pp.383-390 © EuroJournals Publishing, Inc. 2010.  
<http://www.eurojournals.com/ejsr.htm>
- [6] Vikaskumar G. Shah, R. Hugh Dunstan, Phillip M. Geary, Peter Coombes, Timothy K. Roberts, Tony Rothkirch (2007): Comparisons of water quality parameters from diverse catchments during dry periods and following rain events *Water Research*, 41 (16):pp. 3655-3666.
- [7] Melissa, L. (2009). Disinfection of Rainwater Catchments: Drinking Water From the Sky, "VIQUA" is the newly formed organization of Trojan Technologies residential water service and R-Can Environmental". pp.1-2.
- [8] Villarreal, E.L., Dixon, A. (2005). Analysis of a rainwater collection system for domestic water supply in Ringdansen, Norrkoping, Sweden. Building and Environment 40,pp. 1174–1184.
- [9] Sazakli, E., Alexopoulos, A., Leotsinidis, M. ( 2007). Rainwater harvesting, quality assessment and utilization in Kefalonia Island, Greece. *Water Research* 41,pp. 2039 - 2047.
- [10] Abbott, S. E. (2008). Overcoming Impediments to Rainwater Harvesting. In Proc. Ne Zealand Institute of Environmental Health Conference. Auckland, New Zealand.
- [11] Rim-Rukeh,A.,Ikhifa,G.O.,Okokoyo,A.P.,Awatefe,J.K.(2007). Treatment of Harvested Rainwater in a Pilot Scale Fixed – Bed Filled with Bone Char, *Journal of Applied Sciences Research*, 3(8): 690-694, © 2007, INSInet Publication.

- [12] Jackson, R. B. (2001). "Water in Changing World" Journal of Eco. Appl., 11, 1027-1045.
- [13] EPA. Drinking water contaminants. (2006). [cited 2007 June 19]; Available from: <http://www.epa.gov/safewater/contaminants/index.html>.
- [14] Ryan, J., (2005). Rain harvesting loves metal roofs. Metal Roofing, p. 38-39.
- [15] Ahmed, W., Vieritz, A., Goonetilleke, A. Gardner, T. (2010). Health Risk from Potable and Non-Potable Uses of Roof-Harvested Rainwater Using Quantitative Microbial Risk Assessment in Australia. Applied and Environmental Microbiology, Vol. 76, pp. 7382 – 7391.
- [١٦] عبد السلام، عادل (١٩٩٠). جغرافية سوريا الإقليمية. منشورات جامعة دمشق.
- [١٧] حسکیر، عبدالمتعم (١٩٩٩). الجولان مفتاح السلام في الشرق الأوسط. بیسان للنشر والتوزيع، بيروت، لبنان.
- [١٨] الأشقر، بشارة خير الله (٢٠٠٤). رصد التلوث الميكروبولوجي في المياه السطحية والجوفية ودراسة التنوع البيولوجي في محافظة القنيطرة، رسالة ماجستير، كلية العلوم، جامعة دمشق.
- [19] ASTM, ( 2004a). Standard guide for choosing locations and sampling methods to monitor atmospheric deposition at non urban locations. American Society for Testing and Materials. D 5111-95. USA, 1-9.
- [20] Zhu, K., Zhang, L. , Hart, W., Liu, M., Chen, H., (2004). Quality issues in harvested rainwater in arid and semi-arid Loess Plateau of northern China. Journal of Arid Environment 57,487 - 505.
- [٢١] المعايير القياسية السورية لمياه الشرب(جودة المياه) (١٩٩٦) . وزارة الدولة لشؤون البيئة، سورية.
- [22] World Health Organization (WHO), (1996). Guidelines for Drinking Water Quality: Health Criteria and Other Supporting Information. Vol 2. Geneva: WHO.
- [23] World Health Organization (WHO), (1997). Guidelines for Drinking Water Quality: Surveillance and Control of Community Supply. 2nd edn. Vol. 2. Geneva: WHO.
- [24] World Health Organization (WHO), (2004). Guidelines for Drinking-water Quality. Third Edition, Geneva.
- [25] EPA. (2006). Monitoring and Assessing Water Quality: Total Solids. From <http://www.epa.gov/owow/monitoring/volunteer/stream/vms58.html>
- [26] Aqeel, S. Al-Adili, Jaafar, S. M.(2008). Hydrochemical study of Rain Water In Baghdad city-Iraq, Eng.&Tech.Vol.26, No.4,p.408.
- [27] Chandra Mouli P., S. Venkata Mohan, S. Jayarama Reddy, (2005). Rainwater chemistry at a regional representative urban site: influence of a terrestrial source on ionic composition. Atmos. Environ. 39, 999-1008.
- [28] E. RAMÍREZ LARA, R. MIRANDA GUARDIOLA, Y. GRACIA VÁSQUEZ, I. BALDERAS RENTERÍA(2010).Chemical composition of rainwater in northeastern México, Atmósfera 23(3), 213-224.
- [29] Dawod, A., (2008). Health risks associated with consumption of untreated water from household roof catchment systems. Master thesis, Faculty of Graduate Studies, Birzeit University, Birzeit, West Bank, Palestine.

- [30] Shalash, I., (2006). Hydrochemistry of The Natuf Drainage Basin Ramallah/ West Bank. Master thesis, Faculty of Graduate Studies, Birzeit University, Birzeit, West Bank, Palestine.
- [31] Nolan B.T, K.J. Hitt and B.C. Ruddy.( 2002). Probability of Nitrate Contamination of Recently Recharged Ground Waters in the Conterminous United States. Environmental Science and Technology, vol 36, no. 10, pp 2138-2145.
- [32] EPA, (2006). Consumer Factsheet on: NITRATES/NITRITES  
[http://www.epa.gov/safewater/contaminants/dw\\_contamfs/nitrates.html](http://www.epa.gov/safewater/contaminants/dw_contamfs/nitrates.html)
- [33] Wangsness, D.J., E.A. Frick, G.R. Buell, and J.C. DeVivo. (1994). Effect of the restricted use of phosphate detergent and upgraded wastewater-treatment facilities on water quality in the Chattahoochee River near Atlanta, Georgia. U.S. Geological Survey, Earth Science Information Center.

## **CHEMICAL COMPOSITION FOR RAINWATER COLLECTIONS IN DIFFERENT REGIONS AT QUNEITRA PROVINCE**

Nizam, A. A. and A. Al-Thlaya

Plant Biology Dept., Faculty of Sciences, Damascus University,  
Damascus, Syria

### **ABSTRACT**

Chemical compounds concentrations in rain water collections are derived from two main sources: aerosols blown by wind and carried through rain storms, and organic and inorganic matters dissolved along water courses and in water catchments.

Chemical analysis of samples collected from rain water collections scattered in three sampling sites in Qunaitra governorate namely Koudaneh, Al Koum and Al Baath City during the time interval from October 2010 to April 2011. The cations  $\text{NH}_4^+$ ,  $\text{Na}^+$ ,  $\text{Ca}^{+2}$ ,  $\text{Mg}^{+2}$  and the anions  $\text{Cl}^-$ ,  $\text{SO}_4^{=2}$ ,  $\text{NO}_3^-$ ,  $\text{NO}_2^-$ ,  $\text{PO}_4^{=3}$ , hydrogen ion concentrations and electrical conductivities were measured.

The study revealed that  $\text{Na}^+$  concentrations (6.12-13.52 mg/l),  $\text{Ca}^{+2}$  concentrations (15.9-36.86 mg/l),  $\text{Mg}^{+2}$  concentrations (6.8-13.49 mg/l),  $\text{Cl}^-$  concentrations (16.10-29.32 mg/l), pH (7.27-8.95), EC (308-420 m.siemin/cm), measured in all study sites, fall within the allowed limits of drinkable water, while  $\text{NH}_4^+$  concentrations (0.6-2.3 mg/l),  $\text{SO}_4^{=2}$  (249-256 mg/l) concentrations,  $\text{NO}_3^-$  concentrations (60-70 mg/l),  $\text{NO}_2^-$  concentrations (0.91-2.6 mg/l),  $\text{PO}_4^{=3}$  concentrations (1.31-2.86 mg/l), surpass the limits of drinkable water. The relations between all ions were calculated for all samples to derive the potential sources of the pollutants.

**Keywords:** rain water collections, fresh water, chemical indicators, water quality

قام بتحكيم البحث

كلية الزراعة - جامعة المنصورة

أ.د / محمد منصور قاسم

كلية زراعة دمياط - جامعة المنصورة

أ.د / حسين عبد الله محمد الفضالي